

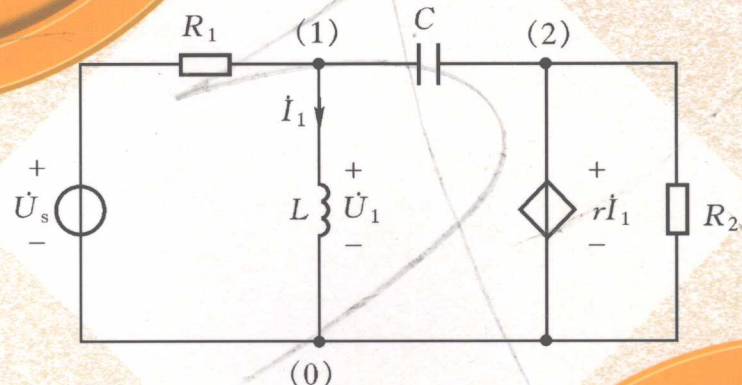


# 电 路

## 工程硕士入学考试指导 与真题解析

(第2版)

刘崇新



西安交通大学出版社  
XI'AN JIAOTONG UNIVERSITY PRESS

TM13/210

2008

· 西安交大考研 ·

代面答内

# 电 路

## 工程硕士入学考试指导 与真题解析

(第2版)

图书编委会(CIE) 编辑

西安交通大学出版社有限公司 编著  
ISBN 978-7-5602-1224-0

I. 中 … II. 电 … III. 工程硕士—入学考试—参考书  
刘崇新

中国图书馆分类号：Q302.221 中国科学院图书馆藏

图书编委会(CIE) 编辑  
刘崇新  
责任编辑  
薛晓红  
责任印制  
王海英  
封面设计  
李晓东  
开本  
787mm×108mm

出版地  
西安  
出 版 社  
西安交通大学出版社  
印 刷 地  
西安  
印 刷 社  
西安交通大学出版社  
书 名  
工程硕士入学考试指导与真题解析  
作 者  
刘崇新  
定 价  
38.00 元

西安交通大学出版社

邮购地址  
西安交通大学出版社  
邮编  
710049  
电话  
029-82662231  
传真  
029-82662232  
电子邮件  
jijiaoxi@163.com  
网 址  
<http://www.xjtupress.com>

## 内容简介

本书主要内容包括电路基本定律、电阻电路分析、电路基本定理、一阶动态电路分析、二阶动态电路分析、正弦稳态电路分析、具有互感的电路、三相电路、非正弦周期电流电路、拉普拉斯变换、二端口网络、网络图论和状态方程、非线性电路。每一章均配有典型例题和习题，书末有两个附录，其中第1个附录是本书各章习题的参考答案；第2个附录是西安交通大学2004年—2008年工程硕士、工学硕士电路入学考试真题详解。

本书主要面向攻读工程硕士和工学硕士的在职人员、在读本科生复习电路之用，也适用于工程技术人员自学电路之用。

# 导言对考学人士研习工 术辅导真题

## 图书在版编目(CIP)数据

电路——工程硕士入学考试指导与真题解析 / 刘崇新编著. — 西安: 西安交通大学出版社, 2008. 7

ISBN 978 - 7 - 5605 - 1554 - 0

I . 电 … II . 刘 … III . 电路 - 工程硕士 - 入学考试 - 自学参考资料  
IV . TM13

中国版本图书馆 CIP 数据核字(2008)第 093551 号

---

书 名 电路——工程硕士入学考试指导与真题解析  
编 著 刘崇新  
责任编辑 任振国

---

出版发行 西安交通大学出版社  
(西安市兴庆南路 10 号 邮政编码 710049)  
网 址 <http://www.xjupress.com>  
电 话 (029)82668357 82667874(发行中心)  
(029)82668315 82669096(总编办)  
传 真 (029)82668280  
印 刷 西安新视点印务有限责任公司

---

开 本 787mm×1092mm 1/16 印张 14.25 字数 342 千字  
版次印次 2008 年 7 月第 1 版 2008 年 7 月第 1 次印刷  
书 号 ISBN 978 - 7 - 5605 - 1554 - 0/TM · 54  
定 价 28.00 元

---

读者购书、书店添货、如发现印装质量问题，请与本社发行中心联系、调换。

订购热线：(029)82665248 (029)82665249

投稿热线：(029)82664954

读者信箱：jdlgy31@126.com

版权所有 侵权必究

## 前言

电路理论是电气工程和电子科学技术的主要理论基础;是一门研究电路分析和网络综合与设计基本规律的基础工程学科;是高等学校电气工程、电子信息工程类专业重要的技术基础课。电路理论为电气工程、电子信息工程类专业的后续课程如模拟电子技术、数字电子技术、信号与系统、电机学、电力系统分析、自动控制、电力电子技术、电力工程、集成电路设计等课程提供理论支持,为电气工程、电子信息工程类专业建立了基本的分析与设计的理论体系。

随着现代高科技突飞猛进的发展,如大规模集成电路的设计与生产,航空航天工程与卫星通信,电力系统中的超高压电网建设与运行更离不开电路理论的支持,当然这些高科技的飞速进步也有力的促进了电路理论的发展。在现代生活和工程实际中,只要涉及电能生产、传输和应用以及电信号产生、传输和应用的地方都有电路理论的重要而广泛的应用。

本书是对电路理论基本内容的提炼和总结,从我国电气工程和电子科学技术的发展实际出发,从高等学校电气工程、电子信息工程类的专业和课程新设制与发展着眼,突出理论重点,力求工程实用,删繁就简,采集精华,语言简练,内容丰富,体系完整。本书的内容符合教育部制定的“高等工科院校电路、电路分析课程基本要求”,电路、电路分析是电气自动化类专业、电子仪器与测控专业、电子信息类专业的技术基础课,学好了电路,就为后续专业课程和以后从事电气、电子工程专业工作奠定了坚实的电路理论基础,也为非电类广大在职技术人员继续学习,扩大知识领域,更新知识结构,增强综合处理工程技术问题的能力奠定了坚实的电路理论基础。

本书内容共分为十二章和两个附录,对电路的基本定律、基本定理以及计算方法都简明扼要地作了叙述,对电路内容每一部分的重点、难点都精炼而清楚地作了论述和归纳。每一章中的每一部分内容都包括有几个典型例题,这些典型例题有利于读者理清思路和对于电路问题的深入思考,能够使读者正确领会、理解电路的基本概念、定律、定理及解题方法。第一个附录是本书各章习题的参考答案;第二个附录是西安交通大学2004年—2008年工程硕士、工学硕士电路入学考试真题详解。

本书是专门为在职人员攻读电气自动化类专业的工程硕士研究生复习电路

之用。近年来，随着我国电气工程和电子科学技术的迅速发展，电气工程和电子科学技术工程领域急需大批具有高新知识，具有创新思维，具有快速分析和解决复杂理论问题和高难度实际工程问题的能力的科技人员，而攻读电气自动化类专业的工程硕士研究生就是培养这类高科技人才的重要途径。任何一个电气和电子类高科技人才只要掌握了系统的电路理论知识，就为自己学习现代高科技理论和高新技术奠定了坚实的电气和电子技术的理论基础。对于广大在职人员攻读电气自动化类专业的工程硕士研究生来说，目前正面临着千载难逢的机遇和挑战，这就是我国电力系统特高压电网的建设和安全运行。我国电力系统特高压电网的建设是电力技术创新的重大举措，是世界电网发展领域中一项崭新的事业，这对增强我国高科技自主创新能力，促进我国电力科技的进步和国民经济的全面发展具有重大意义。因此，我国电力系统和电力电器制造系统在职人员攻读电气自动化类专业的工程硕士研究生任重而道远，本书对这些人员来说是攻读电气自动化类专业的工程硕士研究生考前复习电路的一本基本教材。本书也可为在职人员在百忙之中攻读电气自动化类专业的工学硕士研究生复习电路之用，也可作为电气自动化类专业、电子信息类专业的本科生的电路辅导书，同时本书也适用于电气自动化类专业、电子信息类专业自学考试的专科生、本科生复习电路之用，本书同时也适用于工程技术人员自学电路之用。

## 作 者

2008年5月于西安交大

## 目 录

(00)	前言	章 0 范 例 例 1.0
(00)	第一章 电路基本定律	1.0
(10)	1.1 电路元件的电压、电流关系	1.0
(40)	1.2 基尔霍夫定律	6.0
(40)	1.3 功能守恒	6.0
(80)	习 题	12.0
<b>第 1 章 电路基本定律</b>		<b>(1)</b>
(00)	第二章 电阻电路分析	15.0
(10)	2.1 电阻的 Y 形连接与△形连接的等效互换	15.0
(10)	2.2 等效电阻	16.0
(10)	2.3 支路电流法	19.0
(10)	2.4 回路电流法	20.0
(10)	2.5 结点电压法	24.0
(10)	2.6 含有理想运算放大器的电路分析	28.0
(80)	习 题	32.0
<b>第 2 章 电阻电路分析</b>		<b>(15)</b>
(00)	第三章 电路基本定理	36.0
(10)	3.1 叠加定理	36.0
(10)	3.2 替代定理	39.0
(10)	3.3 戴维宁定理和诺顿定理	39.0
(10)	3.4 特勒根定理	47.0
(10)	3.5 互易定理	48.0
(80)	习 题	51.0
<b>第 3 章 电路基本定理</b>		<b>(36)</b>
(00)	第四章 动态电路分析	54.0
(10)	4.1 一阶动态电路分析	54.0
(10)	4.2 二阶动态电路分析	68.0
(80)	习 题	72.0
<b>第 4 章 动态电路分析</b>		<b>(54)</b>
(00)	第五章 正弦稳态电路分析	76.0
(10)	5.1 应用相量法分析正弦电流电路	76.0
(10)	5.2 正弦稳态电路的功率	80.0
(10)	5.3 最大功率传输	82.0
(10)	5.4 正弦电流电路的串联谐振	83.0
(10)	5.5 正弦电流电路的并联谐振	86.0
(80)	习 题	88.0
<b>第 5 章 正弦稳态电路分析</b>		<b>(76)</b>

<b>第6章 具有互感的电路</b>	(90)
6.1 互感	(90)
6.2 互感的去耦等效	(91)
6.3 含互感电路的计算	(94)
6.4 空心变压器	(96)
6.5 理想变压器	(98)
<b>习题</b>	(101)
<b>第7章 三相电路</b>	(103)
7.1 电源的(Y)星形联接和(△)三角形联接	(103)
7.2 对称三相电路的计算	(104)
7.3 不对称三相电路的计算	(106)
7.4 三相电路的功率	(108)
<b>习题</b>	(111)
<b>第8章 非正弦周期电流电路</b>	(114)
8.1 周期函数分解为傅里叶级数	(114)
8.2 非正弦周期量的有效值和平均功率	(115)
8.3 非正弦周期电流电路的计算	(117)
<b>习题</b>	(121)
<b>第9章 拉普拉斯变换</b>	(123)
9.1 拉普拉斯变换的定义	(123)
9.2 拉普拉斯变换的基本性质	(125)
9.3 拉普拉斯逆变换	(131)
9.4 复频域电路模型	(135)
9.5 应用拉普拉斯变换分析线性电路	(138)
<b>习题</b>	(144)
<b>第10章 二端口网络</b>	(148)
10.1 线性无源二端口网络的参数和方程	(148)
10.2 二端口网络的等效电路	(152)
10.3 二端口网络的联接	(153)
10.4 回转器	(156)
10.5 负阻抗变换器	(157)
<b>习题</b>	(159)
<b>第11章 网络图论和状态方程</b>	(162)
11.1 关联矩阵	(162)
11.2 独立回路矩阵	(163)
11.3 独立割集矩阵	(165)
11.4 电路方程的矩阵形式	(166)

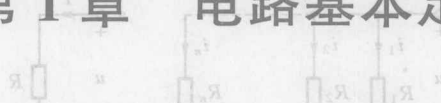
11.5 列表法.....	(171)
11.6 状态方程.....	(173)
习 题.....	(176)
<b>第 12 章 非线性电路 .....</b>	<b>(178)</b>
12.1 非线性电阻电路.....	(178)
12.2 含有非线性电阻的电路方程.....	(178)
12.3 小信号分析法.....	(181)
12.4 含有非线性动态元件的电路.....	(182)
习 题.....	(183)
<b>附录 1 习题参考答案 .....</b>	<b>(185)</b>
<b>附录 2 西安交通大学 2004—2008 年工程硕士、工学硕士入学考试试题解析 .....</b>	<b>(190)</b>
西安交通大学 2004 年工程硕士入学考试电路试题解析 .....	(190)
西安交通大学 2005 年工程硕士入学考试电路 A1 卷试题解析 .....	(195)
西安交通大学 2006 年工程硕士入学考试电路 A1 卷试题解析 .....	(200)
西安交通大学 2007 年工程硕士入学考试电路 A1 卷试题解析 .....	(205)
2008 年西安交通大学电气学院攻读硕士学位研究生电路试题解析 .....	(210)
<b>参考文献 .....</b>	<b>(219)</b>

(1.1)

$$R \sum_{i=1}^n u_i = R u = u = q$$

。示波 8.1 图吸，源并由个 n

# 第 1 章 电路基本定律



电路分析是根据电路的基本定律,按照给定的结构和激励来求解电路变量(支路电流和电压),以确定电路的工作状态。

图 1.1 电阻元件及伏安特性

## 1.1 电路元件的电压、电流关系

式导由效等

### (1.1) 1. 电阻元件 $R$

图形符号如图 1.1 所示(电压与电流取关联参考方向),有

$$u = Ri, \text{ 或 } i = Gu, G = \frac{1}{R} \quad (1.1)$$

(1.1)

(1.1)

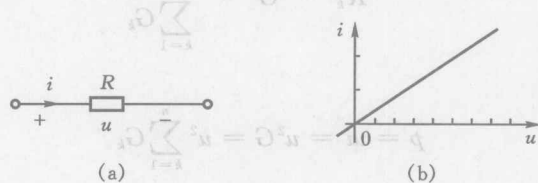


图 1.1 电阻元件及伏安特性

电阻是耗能元件,功率为

$$P = ui = R i^2 = Gu^2 \geq 0 \quad (1.2)$$

$n$  个电阻串联,如图 1.2 所示。

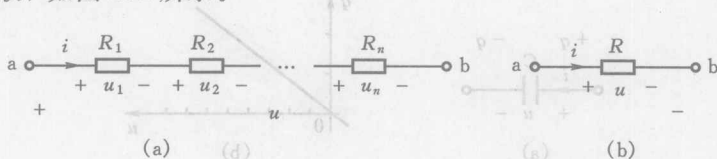


图 1.2 电阻串联电路

等效电阻为

$$R = R_1 + R_2 + \cdots + R_n = \sum_{k=1}^n R_k, \text{ 其中 } k = 1, 2, 3, \dots \quad (1.3)$$

电阻串联,其中流过每一电阻的电流相同,任一电阻电压为

$$u_k = \frac{R_k}{R} u = \frac{R_k}{\sum_{k=1}^n R_k} u \quad (1.4)$$

(1.1)

等效电阻的功率为

$$P = ui = i^2 R = i^2 \sum_{k=1}^n R_k \quad (1.5)$$

$n$  个电阻并联, 如图 1.3 所示。

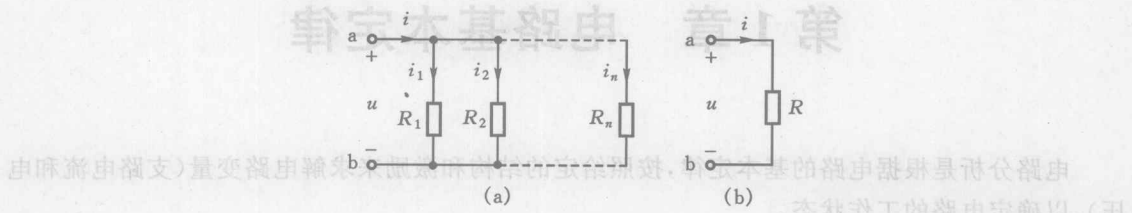


图 1.3 电阻并联电路

等效电导为

$$G = G_1 + G_2 + \dots + G_n = \sum_{k=1}^n G_k, \text{ 而 } R = \frac{1}{G} \quad (1.6)$$

电阻并联, 每一电阻两端电压相同, 任一电阻电流为

$$i_k = \frac{R}{R_k} i = \frac{G_k}{G} i = \frac{G_k}{\sum_{k=1}^n G_k} i \quad (1.7)$$

等效电导的功率为

$$P = ui = u^2 G = u^2 \sum_{k=1}^n G_k \quad (1.8)$$

## 2. 电容元件 C

图形符号如图 1.4 所示(电压与电流取关联参考方向), 有

$$q = Cu, \quad i = C \frac{du}{dt} \quad (1.9)$$

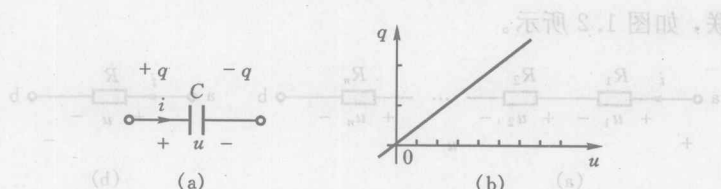


图 1.4 电容元件及库伏特性

或

$$(1.10) \quad \cdots, \text{ 其中 } u = u(0) + \frac{1}{C} \int_0^t i dt \cdots$$

电容是储能元件, 功率为  $P = ui$

储存的电场能量为

$$W_C = \frac{1}{2} Cu^2 \geq 0 \quad (1.11)$$

$n$  个电容串联, 如图 1.5 所示。

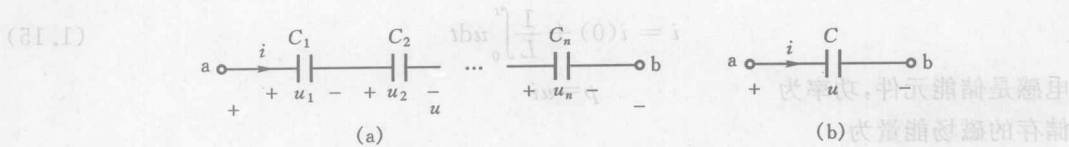


图 1.5 电容串联电路

等效总电容的倒数为

$$\frac{1}{C} = \frac{1}{C_1} + \frac{1}{C_2} + \cdots + \frac{1}{C_n} = \sum_{k=1}^n \frac{1}{C_k}, \quad \text{其中 } k = 1, 2, 3, \dots \quad (1.12)$$

$n$ 个电容串联, 其中流过每一电容的电流相同, 每个电容的电荷量相等, 而任一电容电压为

$$u_k(t) = \frac{1}{C_k} \int_{-\infty}^t i(\xi) d\xi, \text{ 而 } u = \frac{1}{C} \int_{-\infty}^t i(\xi) d\xi, \text{ 因此 } u_k = \frac{C}{C_k} u$$

$n$ 个电容并联如图 1.6 所示。

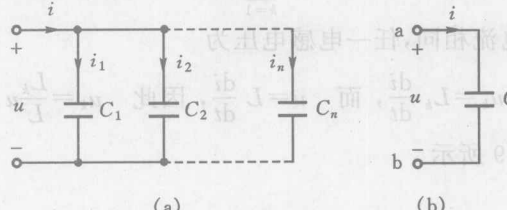


图 1.6 电容并联电路

等效总电容为

$$C = C_1 + C_2 + \cdots + C_n = \sum_{k=1}^n C_k \quad (1.13)$$

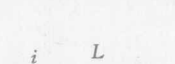
$n$ 个电容并联, 每一电容两端电压相同, 任一电容电流为

$$i_k = C_k \frac{du}{dt}, \text{ 而 } i = C \frac{du}{dt}, \text{ 因此 } i_k = \frac{C_k}{C} i$$

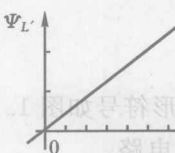
### 3. 电感元件 $L$

图形符号如图 1.7 所示(电压与电流取关联参考方向), 有

$$\Psi = Li, \quad u = L \frac{di}{dt} \quad (1.14)$$



(a)



(b)

图 1.7 电感元件及韦安特性

或

$$i = i(0) + \frac{1}{L} \int_0^t u dt \quad (1.15)$$

电感是储能元件, 功率为  
储存的磁场能量为

$$p = ui$$

$$W_L = \frac{1}{2} L i^2 \geq 0$$

(a)

$$(1.16)$$

$n$  个电感串联, 如图 1.8 所示。

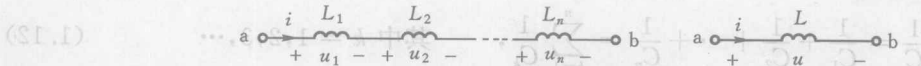


图 1.8 电感串联电路

等效总电感为

$$L = L_1 + L_2 + \dots + L_n = \sum_{k=1}^n L_k, \quad \text{其中 } k = 1, 2, 3, \dots \quad (1.17)$$

$n$  个电感串联, 其中电流相同, 任一电感电压为

$$u_k = L_k \frac{di}{dt}, \text{ 而 } u = L \frac{di}{dt}, \text{ 因此 } u_k = \frac{L_k}{L} u$$

$n$  个电感并联如图 1.9 所示。

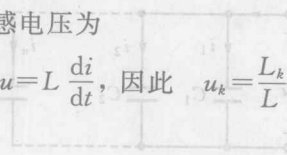


图 1.9 电感并联电路

等效总电感的倒数为

$$\frac{1}{L} = \frac{1}{L_1} + \frac{1}{L_2} + \dots + \frac{1}{L_n} = \sum_{k=1}^n \frac{1}{L_k} \quad (1.18)$$

电感并联, 每一电感两端电压相同, 任一电感电流为

$$i_k = \frac{1}{L_k} \int_{-\infty}^t u(\xi) d\xi, \text{ 而 } i = \frac{1}{L} \int_{-\infty}^t u(\xi) d\xi, \text{ 因此 } i_k = \frac{L}{L_k} i$$

#### 4. 独立电源元件

(1) 理想电压源  $u_s(t)$  的图形符号如图 1.10 所示,  $u_s(t)$  为给定的函数, 向外电路提供恒定变化的电压, 其电流取决于外电路。

(2) 理想电流源  $i_s(t)$  的图形符号如图 1.11 所示,  $i_s(t)$  为给定的函数, 向外电路提供恒定变化的电流, 其电压取决于外电路。

独立电源在电路中直接起着激励的作用。

电路元件的 VCR 关系由电路元件的电磁性质所决定。

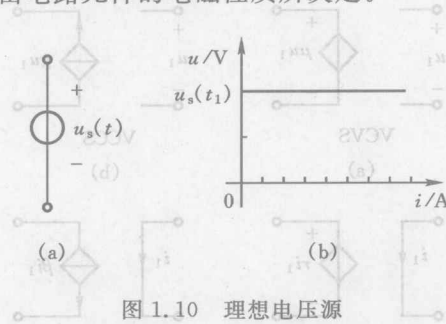


图 1.10 理想电压源

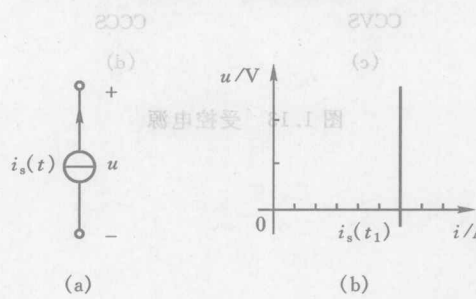


图 1.11 理想电流源

明，零干基时味数分的源由数支育代。(面合时音是)故一升干板，使一切一升，中数由

(3) 实际电源的两种模型及其等效变换。理想电压源与电阻的串联组合作为实际电压源的电路模型, 如图 1.12(a) 所示。理想电流源与电阻的并联组合作为实际电流源的电路模型, 如图 1.12(b) 所示。

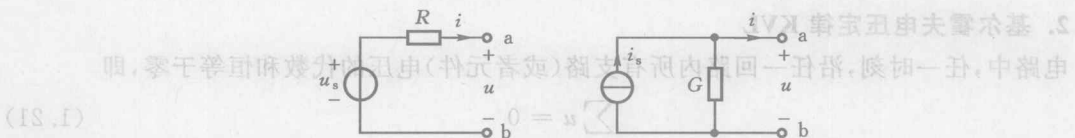


图 1.12 实际电源的两种电路模型

在电路分析与计算中, 实际电源的两种电路模型可以等效互换, 其对外电性能等效, 等效互换的条件为

$$i_s = Gu_s, \quad G = \frac{1}{R} \quad (1.19)$$

## 5. 受控电源

受控电源又称为非独立电源, 受控电压源的电压或受控电流源的电流受电路中某部分的电压或电流所控制。受控电源是一种双口元件, 共有 4 种形式(在指定的电压、电流参考方向下)分别如图 1.13(a)、(b)、(c)、(d)所示。图中  $u_1$ 、 $i_1$  分别表示控制电压和控制电流, 称为控制量。 $\mu$ 、 $r$ 、 $g$ 、 $\beta$  分别表示有关的控制系数。这些控制系数为常数时表示线性受控源。对于受控源, 当控制量为零时, 受控源就为零。

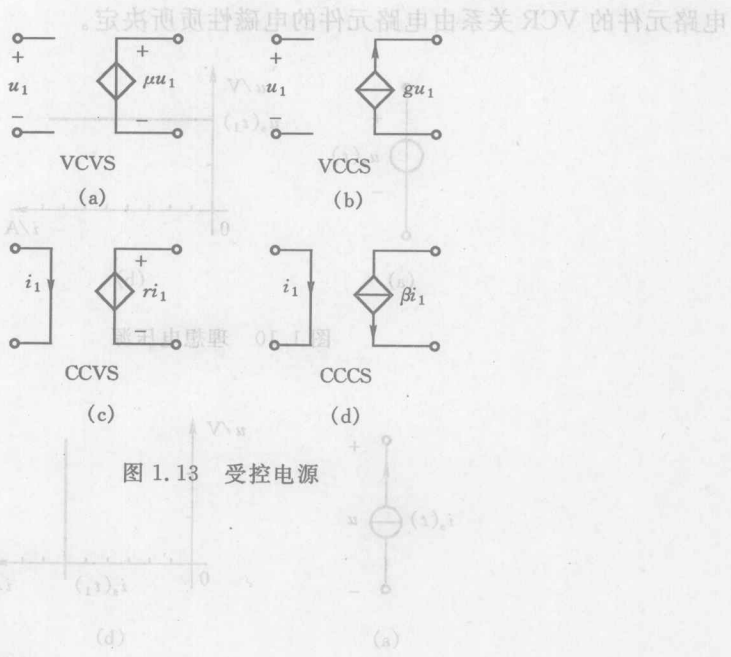


图 1.13 受控电源

## 1.2 基尔霍夫定律 KCL

### 1. 基尔霍夫电流定律 KCL

电路中,在任一时刻,对于任一结点(或者闭合面),所有支路电流的代数和恒等于零,即

$\sum i = 0$  (1.20)

应用 KCL 时,首先要指定各支路电流的参考方向。通常规定流出结点的电流取正,流入取负。一个具有  $n$  个结点的电路仅能写出  $(n-1)$  个独立的 KCL 方程。

### 2. 基尔霍夫电压定律 KVL

电路中,任一时刻,沿任一回路内所有支路(或者元件)电压的代数和恒等于零,即

$$\sum u = 0 \quad (1.21)$$

应用 KVL 时,首先要指定各回路的参考方向(或绕行方向)。通常规定与回路参考方向一致的电压取正,反之取负。对于任一个具有  $n$  个结点  $b$  条支路的电路仅能写出  $l = b - (n-1)$  个独立的 KVL 方程,其中  $n$  为结点数,  $b$  为支路数,  $l$  为独立回路数。

基尔霍夫定律与电路元件的性质无关,它们反映了电路结构所确定的电压与电流的约束关系。

## 1.3 功能守恒

功率是电能量对时间的变化率。对于一个元件(或一条支路),电压与电流取关联参考方向,如图 1.4(a)所示,电功率为

$$p(t) = u(t)i(t), p > 0, \text{元件吸收能量}; p < 0, \text{元件放出能量}.$$

对于一个元件(或一条支路),当电压与电流取非关联参考方向时,如图 1.4(b)所示,电功率为

$$p(t) = -u(t)i(t), p > 0, \text{元件吸收能量}; p < 0, \text{元件放出能量}.$$

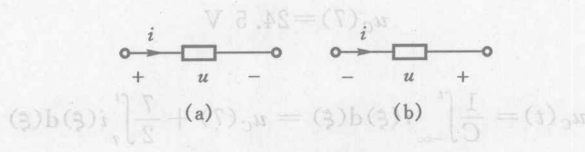


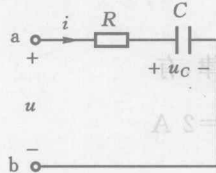
图 1.14 元件的功率

当  $p(t) = u(t)i(t)$ ,  $p > 0$ , 元件放出能量;  $p < 0$ , 元件吸收能量。

根据电路的功能守恒原理, 对于任一电路, 各元件(或支路)在任一时刻吸收能量的功率之代数和等于零, 所以有

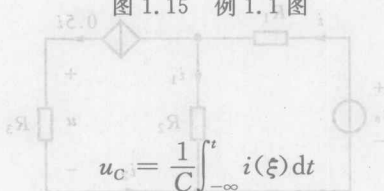
$$\sum p = \sum ui = 0 \quad (1.22)$$

**例 1.1** 电路如图 1.15(a)所示,  $R = 10 \Omega$ ,  $C = \frac{2}{7} F$ , 图(b)为电容电流的波形图, 求电压  $u_C(t)$ 。



(a) (b)

图 1.15 例 1.1 图



【解】由于  $i = C \frac{du_C}{dt}$

所以

$$-u_C = \frac{1}{C} \int_{-\infty}^t i(\xi) d\xi$$

由图(b)可知

$$i_C = \begin{cases} 0 & t \leq 0 \\ \frac{2}{7}t + \frac{1}{7} & 0 \leq t \leq 7 \\ -2t + 16 & 7 \leq t \leq 8 \\ 0 & 8 \leq t \end{cases}$$

当  $t \leq 0$  时

$$u_C(t) = \frac{1}{C} \int_{-\infty}^t i(\xi) d\xi = 0$$

故

$$i(0) = 0$$

当  $0 \leq t \leq 7$  时

$$u_C(t) = \frac{1}{C} \int_{-\infty}^t i(\xi) d\xi = u_C(0) + \frac{1}{C} \int_0^t i(\xi) d\xi$$

$$= 0 + \frac{7}{2} \int_0^t \frac{2}{7} \xi d\xi = 0.5t^2$$

故

当  $7 \leq t \leq 8$  时

$$u_C(t) = \frac{1}{C} \int_{-\infty}^t i(\xi) d\xi = u_C(7) + \frac{7}{2} \int_7^t i(\xi) d\xi$$

$$= 24.5 + \frac{7}{2} \int_7^t (-2\xi + 16) d\xi$$

$$= 24.5 + \frac{7}{2} \left[ -\xi^2 + 16\xi \right]_7^t$$

$$= -3.5t^2 + 56t - 196$$

故

$$u_C(8) = 28 \text{ V}$$

当  $8 \leq t$  时

$$u_C(t) = u_C(8) + \frac{1}{C} \int_8^t i(\xi) d\xi = 28 \text{ V}$$

**例 1.2** 电路如图 1.16 所示, 已知  $u = 5 \text{ V}$ ,  $R_1 = 8 \Omega$ ,  $R_2 = 10 \Omega$ ,  $R_3 = 5 \Omega$ , 试求  $i_1$ ,  $i_2$ ,  $i$ ,  $u_s$ 。

**【解】** 由于受控电流源与  $R_3$  串联, 根据欧姆定律, 有

$$i_2 = \frac{u}{R_3} = \frac{5}{5} = 1 \text{ A}, \quad \text{而 } i_2 = 0.5i, \quad \text{得 } i = 2 \text{ A}$$

应用 KCL, 有

$$(d) \quad -i + i_1 + i_2 = 0 \quad (s)$$

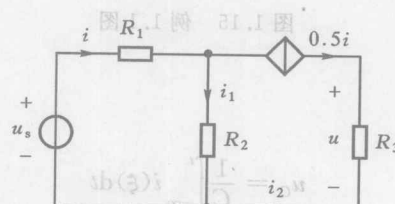


图 1.16 例 1.2 图

代入数据, 有

解得

而应用 KVL, 有

$$u_s = 8i + 10i_1 = 16 + 10 = 26 \text{ V}$$

**例 1.3** 电路如图 1.17 所示,  $u_s = 40 \text{ V}$ ,  $i_s = 1 \text{ A}$ ,  $R_1 = 20 \Omega$ ,  $R_2 = 10 \Omega$ , 试求  $R_1$ ,  $R_2$  消耗的功率和电源发出的功率。

$$【解】 \quad i_1 = \frac{u_s}{R_1} = \frac{40}{20} = 2 \text{ A}, \quad i_2 = i_s = 1 \text{ A}$$

应用 KCL, 有

$$u_o - 10i_2 = 40, \quad \text{得 } u_o = 50 \text{ V}$$

而应用 KVL, 有

电阻消耗的功率

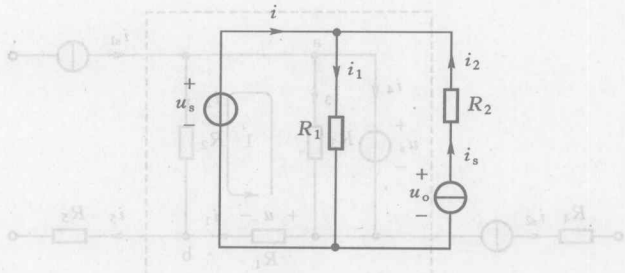


图 1.17 例 1.3 图

$$p_1 = u_s i_1 = 40 \times 2 = 80 \text{ W}, \quad p_2 = i_2^2 R_2 = 1 \times 10 = 10 \text{ W}$$

电源发出的功率：

由于  $u_s$  与  $i$  参考方向相反

$$p_{u_s} = u_s i = 40 \times 1 = 40 \text{ W}$$

$u_o$  与  $i_s$  参考方向相反

$$p_{i_s} = u_o i_s = 50 \times 1 = 50 \text{ W}$$

例 1.4 电路如图 1.18 所示, 已知  $u_s(t) = U_m \cos(\omega t)$ ,  $i_s(t) = I_m e^{-at}$ , 试求  $u_L(t)$ 、 $i_{C_2}(t)$ 。

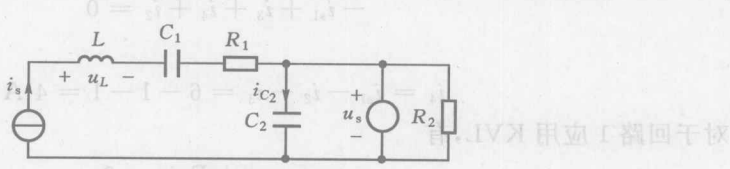


图 1.18 例 1.4 图

【解】电流源限定了  $L$ 、 $C_1$ 、 $R_1$  中的电流, 电压源限定了  $C_2$ 、 $R_2$  两端的电压, 因此有

$$i_s = I_m e^{-at}, \quad u_L = u_s = U_m \cos(\omega t), \quad u_L = L \frac{di_s}{dt} = -L a I_m e^{-at}$$

$$\begin{aligned} i_{C_2} &= C_2 \frac{du_s}{dt} = -\omega C_2 U_m \sin(\omega t) \\ &= \omega C_2 U_m \cos(\omega t + 90^\circ) \end{aligned}$$

例 1.5 电路如图 1.19 所示, 已知  $i_{s1} = 6 \text{ A}$ ,  $i_{s2} = 4 \text{ A}$ ,  $u_s = 20 \text{ V}$ ,  $u = 24 \text{ V}$ ,  $R_1 = 24 \Omega$ ,  $R_3 = 20 \Omega$ ,  $R_4 = R_5 = 50 \Omega$ , 试求  $i_4$  和  $R_2$ 。

【解】将虚线所围部分看成一个广义结点, 应用 KCL, 有

$$-i_{s1} + i_{s2} + i_5 = 0$$

得

$$i_5 = i_{s1} - i_{s2} = 6 - 4 = 2 \text{ A}$$

根据欧姆定律, 有

$$i_1 = \frac{u}{R_1} = \frac{24}{24} = 1 \text{ A}$$